

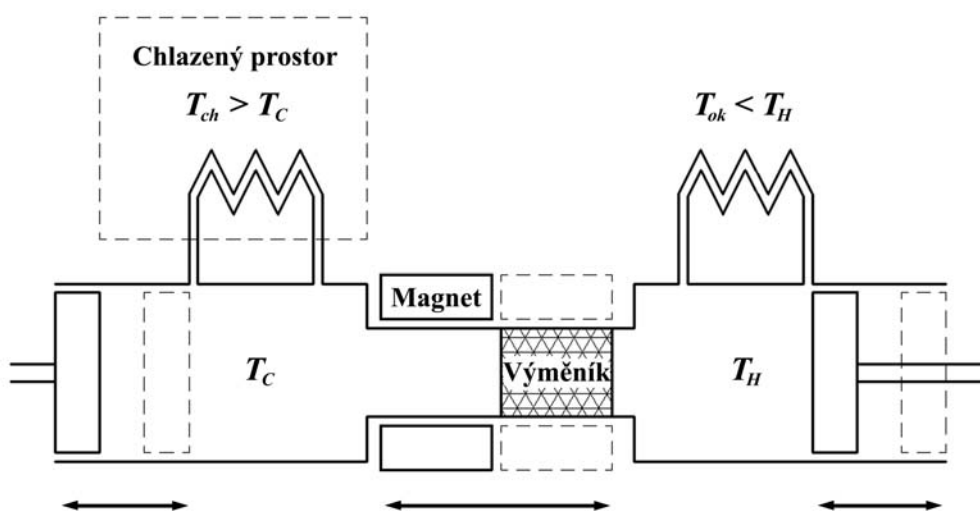
ODHAD OPTIMÁLNÍ VELIKOSTI ZRN VÝPLNĚ REGENERAČNÍHO VÝMĚNÍKU S OHLEDEM NA HYDRAULICKÉ ZTRÁTY A PŘESTUP TEPLA *The Estimation of the Optimal Size of Elements in Regenerator with Respect to Hydraulic Losses and Heat Transfer*

Jan Slanec

Ústav mechaniky tekutin a energetiky, Fakulta strojní, ČVUT v Praze

Chlazení s využitím magnetokalorického jevu

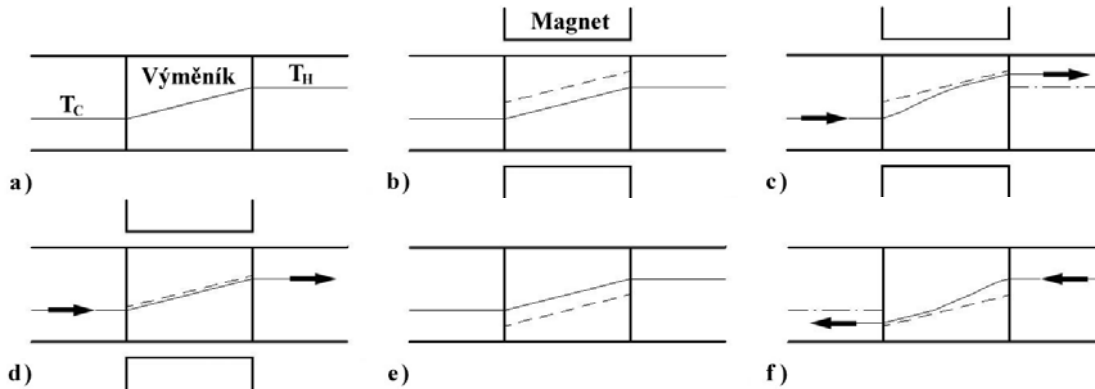
Existují materiály, které změni svoji teplotu, pokud jsou vystaveny silnému magnetickému poli. Tento jev se ukazuje být poměrně zajímavý pro oblast chlazení.^[1] Součástí chladicího zařízení využívajícího zmíněný magnetokalorický jev je regenerační výměník vyrobený z materiálu vykazujícího výše popsanou vlastnost. Pomocí magnetického pole jsou vyvolávány změny teploty výměníku. To umožňuje střídavé odebrání a dodávání tepla teplotonosné látce protékající tímto výměníkem. Při správné synchronizaci pohybu teplotonosné látky a teplotních změn ve výměníku je zajištěn transport tepla požadovaným směrem. Možné uspořádání takového chladicího zařízení je na **Obr. 1**. Průběh pracovního cyklu chladicího zařízení je patrný ze sekvence obrázků **Obr. 2a-f**.



Obr. 1: Schéma uspořádání uvažovaného chladicího zařízení

Na obrázcích **Obr. 2a-f** je schématicky znázorněn již pouze zmiňovaný regenerační výměník, jehož výplň tvoří materiál vykazující magnetokalorický jev. Na **Obr. 2a** je naznačeno rozložení teploty ve výměníku. Teplota teplotonosné látky na „teplé straně“ stroje je T_H a na „studené straně“ T_C . Když se speciální materiál uvnitř výměníku vystaví silnému magnetickému poli (**Obr. 2b**), vzroste jeho teplota (Tato změna teploty je na obrázku naznačena čárkovanou čarou.). Za působení magnetického pole je výměníkem protlačována teplotonosná látka ze studené strany do teplé (**Obr. 2c**). Výměník předává teplo proudící látce, která se díky tomu ohřívá. Teplotonosná látka

vytékající z výměníku má vyšší teplotu než je T_H , a je tedy schopna získané teplo předat dál. Tento transport tepla je teoreticky možný do chvíle, kdy se výměník natolik ochladí, že jej teplotonosná látka opouští při teplotě T_H (**Obr. 2d**).



Obr. 2: Schéma pracovního cyklu chladicího zařízení

V tuto chvíli se zastaví pohyb teplotonosné látky a magnetické pole přestane působit na výměník. Po odstranění magnetického pole se teplota materiálu ve výměníku naopak sníží (**Obr. 2e**). Nyní je teplotonosná látka protlačována z teplé strany do studené (**Obr. 2f**), ochlazuje se na teplotu nižší než je T_C a přijímá na studené straně stroje teplo, které v následujícím cyklu předá výměníku.

Zjednodušený model výměníku a pracovního cyklu

Uvažovaným regeneračním výměníkem je kanál konstantního průřezu $A_0 [m^2]$, ve kterém je porézní vrstva o tloušťce $L [m]$. Tato porézní vrstva je tvořena kuličkami speciálního materiálu o průměru $d [m]$. Vrstva je monodisperzní a lze ji dále charakterizovat mezerovitostí (pórozitou) $\varepsilon [-]$, což je poměr objemu mezer (pórů) v této vrstvě vůči celkovému objemu vrstvy. Z pohledu sdílení tepla je důležitou charakteristikou poměr teplosměnné plochy uvnitř vrstvy ku jejímu objemu. Tento měrný povrch $a_s [m^2 \cdot m^{-3}]$ lze pro monodisperzní vrstvu o mezerovitosti ε tvořené částicemi ve tvaru kuliček o průměru d vyjádřit takto:

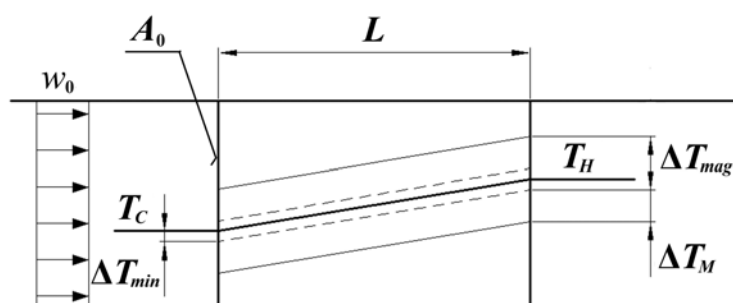
$$a_s = n \cdot \frac{A_{\text{částice}}}{A_0 \cdot L} = \frac{(1 - \varepsilon) \cdot A_0 \cdot L}{V_{\text{částice}}} \cdot \frac{A_{\text{částice}}}{A_0 \cdot L} = \frac{(1 - \varepsilon) \cdot A_{\text{částice}}}{V_{\text{částice}}} = \frac{(1 - \varepsilon) \cdot \pi \cdot d^2}{\frac{1}{6} \pi \cdot d^3} = \frac{6 \cdot (1 - \varepsilon)}{d}. \quad (1)$$

Výměníkem protéká teplotonosná látka. Proudění této teplotonosné látky porézní vrstvou je možné charakterizovat objemovým tokem nebo rychlostí $w_0 [m \cdot s^{-1}]$ ve volném kanále o stejném průřezu A_0 . Střední rychlost uvnitř této porézní vrstvy je pak možné určit jako:

$$w_m = \frac{w_0}{\varepsilon}. \quad (2)$$

Na obrázku **Obr. 3** jsou vyznačeny mezní stavy rozložení teploty porézní vrstvy (matrice) ve výměníku během pracovního cyklu. Je zde patrné zjednodušení řešeného problému v podobě lineárních průběhů teplot. Dalším uvažovaným zjednodušením je konstantní změna teploty ΔT_{mag} [K] při „magnetizaci“ a „demagnetizaci“ v celém rozsahu teplot. ΔT_{min} [K] představuje rozdíl mezi teplotami matrice a teplotnosné látky na konci jednotlivých fází pracovního cyklu, tedy před „magnetizací“ či „demagnetizací“ a následnou změnou směru proudění. Změna teploty matrice výměníku v důsledku sdílení tepla s protékajícím médiem během jedné fáze pracovního cyklu (při proudění jedním směrem) je:

$$\Delta T_M = \Delta T_{mag} - 2 \cdot \Delta T_{min} \quad (3)$$



Obr. 3: Schéma výměníku s průběhy teplot během pracovního cyklu

Odhad rychlosti w_0

V následujícím výpočtu rychlosti proudění se předpokládá, že je tato rychlost konstantní. Není tedy uvažováno urychlování a zpomalování proudu při změnách směru proudění. Nejsou zde ani uvažovány časové prodlevy na magnetizaci a demagnetizaci.

Aby se během každé poloviny pracovního cyklu změnila teplota matrice výměníku o ΔT_M , musí se z ní odvést (nebo do ní dodat) potřebné teplo. Matrici výměníku tvoří materiál s měrnou tepelnou kapacitou c_M a hustotou ρ_M . Odvedené (nebo přivedené) teplo tedy je:

$$Q_M = c_M \cdot m_M \cdot \Delta T_M = c_M \cdot A_0 \cdot L \cdot (1 - \varepsilon) \cdot \rho_M \cdot \Delta T_M \quad (4)$$

Teplo Q_M je odvedeno (přivedeno) protékající teplotnosnou látkou. Touto látkou bude například plyn o měrné tepelné kapacitě c_{pg} a hustotě ρ_g , který se při průchodu výměníkem ohřeje (ochladí) o ΔT_g . Z této úvahy je možné určit, jaké množství teplotnosné látky je k odvedení (přivedení) tohoto tepla zapotřebí. Hmotnost potřebného množství teplotnosné látky je:

$$m_g = \frac{Q_M}{c_{pg} \cdot \Delta T_g}. \quad (5)$$

Teplotní rozdíl, o který se změní teplota teplotnosné látky, se za výše uvedených podmínek mění v intervalu $\langle (T_H - T_C) + \Delta T_{mag} - \Delta T_{min} \div (T_H - T_C) \rangle$ (viz **Obr. 3**). Výraz ΔT_g pak představuje střední hodnotu tohoto intervalu, tedy:

$$\Delta T_g = \frac{2 \cdot (T_H - T_C) + \Delta T_{mag} - \Delta T_{min}}{2} = K_1 \cdot (T_H - T_C), \quad (6)$$

kde

$$K_1 = 1 + \frac{\Delta T_{mag} - \Delta T_{min}}{2 \cdot (T_H - T_C)}. \quad (7)$$

Pro určení rychlosti w_0 je ještě zapotřebí znát frekvenci pracovních cyklů. Tato frekvence se určí z předpokládané tepelného výkonu \dot{Q} , který má výměník přenášet:

$$f = \frac{\dot{Q}}{Q_M}. \quad (8)$$

Protože během pracovního cyklu proteče teplotnosná látka výměníkem dvakrát, je její hmotnostní tok:

$$\dot{m}_g = 2 \cdot f \cdot m_g. \quad (9)$$

Z hmotnostního toku se určí hledaná rychlost:

$$w_0 = \frac{\dot{m}_g}{A_0 \cdot \rho_g}. \quad (10)$$

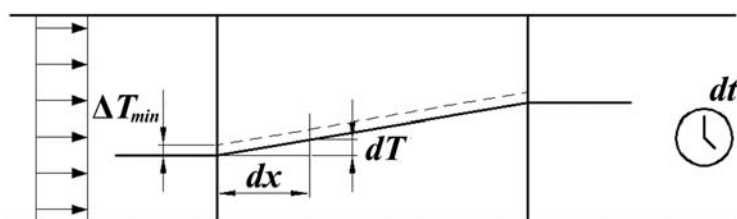
Po úpravě pomocí vztahů (4), (5), (6) a (9):

$$w_0 = 2 \cdot f \cdot (1 - \varepsilon) \cdot L \cdot \frac{c_M \cdot \rho_M}{c_{pg} \cdot \rho_g} \cdot \frac{\Delta T_M}{K_1 \cdot (T_H - T_C)}. \quad (11)$$

Odhad vhodného průměru kuliček *d gadolinia ve výměníku*

Průměr kuliček ovlivňuje teplosměnnou plochu výměníku, proto se při jeho určování vyjde z přestupu tepla. Na **Obr. 4** je naznačen mezní stav, který by měl výměník

umožnit dosáhnout. Teplonosná látka se ohřívá z teploty T_C na teplotu T_H . Její teplota kopíruje teplotu matrice, a přitom je udržován konstantní teplotní rozdíl ΔT_{min} .



Obr. 4: Limitní stav pro přestup tepla

Teplný tok, který je potřebný pro ohřev 1kg protékající látky, lze vyjádřit následovně:

$$\dot{q} = c_{pg} \cdot \frac{dT}{dt} = c_{pg} \cdot \frac{dT}{dx} \cdot \frac{dx}{dt}, \quad (12)$$

kde

$$dx = w_m \cdot dt = \frac{w_0}{\varepsilon} \cdot dt. \quad (13)$$

Při uvažovaném lineárním průběhu teploty lze dát do rovnosti:

$$\frac{dT}{dx} = \frac{(T_H - T_C)}{L}. \quad (14)$$

Po dosazení vztahů (13) a (14) do (12):

$$\dot{q} = c_{pg} \cdot \frac{(T_H - T_C)}{L} \cdot \frac{w_0}{\varepsilon}. \quad (15)$$

Stejný teplý tok musí být sdělen při přestupu tepla mezi matricí a teplonosnou látkou:

$$\dot{q} = \alpha \cdot \Delta T_{min} \cdot A_{tep}, \quad (16)$$

α je součinitel přestupu tepla a A_{tep} představuje teplosměnnou plochu v objemu výměníku vyplněném 1kg protékající látky:

$$A_{tep} = \frac{a_s}{\varepsilon \cdot \rho_g} = \frac{6 \cdot (1 - \varepsilon)}{d \cdot \varepsilon \cdot \rho_g}. \quad (17)$$

Z rovnosti mezi (15) a (16) lze, po dosazení vztahů (11) a (17), určit minimální hodnotu součinitele přestupu tepla nutnou pro dosažení stavu naznačeného na **Obr.4** :

$$\alpha_{min} = \frac{1}{3 \cdot K_1} \cdot f \cdot c_M \cdot \rho_M \cdot \frac{\Delta T_M}{\Delta T_{min}} \cdot d = C_1 \cdot d, \quad (18)$$

kde

$$C_1 = \frac{1}{3 \cdot K_1} \cdot f \cdot c_M \cdot \rho_M \cdot \frac{\Delta T_M}{\Delta T_{min}}. \quad (19)$$

Skutečný součinitel přestupu tepla se určí z kritériální rovnice pro přestup tepla v porézni vrstvě. Daným podmínkám vyhovuje například rovnice^[2,3]:

$$Nu_h = 0,23 \cdot Re_h^{0,7} \cdot Pr^{0,33}, \quad (20)$$

kde

$$Nu_h = \frac{\alpha \cdot d_h}{\lambda_g}, \quad Re_h = \frac{w_m \cdot d_h}{\nu_g}, \quad Pr = \frac{\nu_g \cdot \rho_g \cdot c_{pg}}{\lambda_g} \quad (21), (22), (23)$$

a

$$d_h = \frac{4 \cdot \varepsilon}{a_s} = \frac{2}{3} \cdot \frac{\varepsilon}{1 - \varepsilon} \cdot d. \quad (24)$$

Vztah (20) lze použít pro $Re_h = 20 \div 5 \cdot 10^4$. Daná podobnostní čísla je také možné vztáhnout k rychlosti w_0 a k průměru kuliček d :

$$Nu_0 = \frac{\alpha \cdot d}{\lambda_g}, \quad Re_0 = \frac{w_0 \cdot d}{\nu_g}. \quad (25), (26)$$

Kritériální rovnice (20) přejde, po zavedení vztahů (24) – (26), na tvar:

$$Nu_0 = 0,23 \cdot \frac{3}{2} \cdot \frac{(1 - \varepsilon)}{\varepsilon} \cdot \left(\frac{2}{3 \cdot (1 - \varepsilon)} \right)^{0,7} \cdot Re_0^{0,7} \cdot Pr^{0,33}. \quad (27)$$

Pro větší přehlednost:

$$Nu_0 = K(\varepsilon, Pr) \cdot Re_0^{0,7}, \quad (28)$$

kde

$$K(\varepsilon, Pr) = 0,23 \cdot \frac{3}{2} \cdot \frac{(1 - \varepsilon)}{\varepsilon} \cdot \left(\frac{2}{3 \cdot (1 - \varepsilon)} \right)^{0,7} \cdot Pr^{0,33}. \quad (29)$$

Dosazením do vztahu (25) se vyjádří hledaný součinitel přestupu tepla:

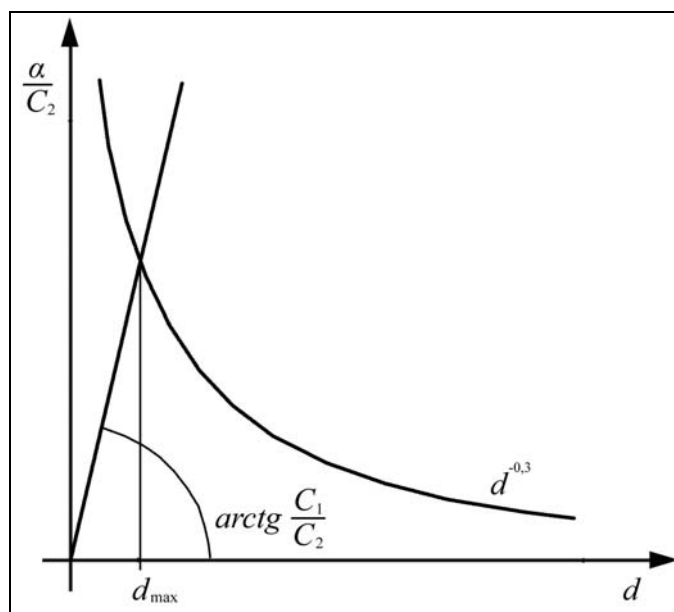
$$\alpha = \frac{K(\varepsilon, \text{Pr}) \cdot \lambda_g \cdot \text{Re}_0^{0.7}}{d} = K(\varepsilon, \text{Pr}) \cdot \lambda_g \cdot \left(\frac{w_0}{v_g} \right)^{0.7} \cdot d^{-0.3} = C_2 \cdot d^{-0.3} \quad (30)$$

kde

$$C_2 = K(\varepsilon, \text{Pr}) \cdot \lambda_g \cdot \left(\frac{w_0}{v_g} \right)^{0.7} . \quad (31)$$

V grafu **Obr. 5** jsou vyneseny závislosti (18) a (30). Jejich společný bod určuje maximální možnou velikost kuliček, při které je ještě zajištěn dostatečný přestup tepla mezi maticí a proudícím médiem:

$$d_{\max} = \left(\frac{C_2}{C_1} \right)^{\frac{1}{1.3}} = \left[\frac{3 \cdot K_1 \cdot K(\varepsilon, \text{Pr}) \cdot \lambda_g \cdot \Delta T_{\min}}{f \cdot c_M \cdot \rho_M \cdot \Delta T_M} \cdot \left(\frac{w_0}{v_g} \right)^{0.7} \right]^{\frac{1}{1.3}} . \quad (32)$$



Obr. 4: Srovnání rovnic (15) a (28)

Protože tlakové ztráty při průtoku výměníkem závisí „nepřímoúměrně“ na průměru kuliček, je maximální přípustný průměr také optimálním průměrem z pohledu hydraulických ztrát. Pro výpočet tlakové ztráty lze použít například rovnici^[2,3]:

$$\frac{\Delta p}{L} = \frac{(1-\varepsilon)^2}{\varepsilon^3 d} \rho_g w_0^2 \left[150 \frac{1-\varepsilon}{\text{Re}_0} + 4,2 \cdot \left(\frac{1-\varepsilon}{\text{Re}_0} \right)^{\frac{1}{6}} \right] \quad (33)$$

Rovnice (33) je platná v rozsahu $\text{Re}_0 = 0,5 \cdot (1 - \varepsilon) \div 40000 \cdot (1 - \varepsilon)$.

Závěr

Je zjevné, že vztah pro výpočet maximální přijatelné velikosti zrn porézní vrstvy ve výměníku (32), vzhledem k použitým zjednodušením při jeho odvození, nemůže dát přesnou odpověď v otázce skutečně optimálních parametrů výměníku pro požadovaný pracovní režim. Poskytuje však kvalitativní představu o vlivu jednotlivých parametrů zúčastněných v daném problému a jejich vzájemných vazbách. Pro získání i kvantitativně korektního výsledku bude dále nezbytné hledat korekce, které by zohledňovaly reálné parametry, jako jsou například skutečné průběhy teplot a rychlosti nebo teplotní závislost magnetokalorického jevu.

Poděkování:

Tato práce vznikla za podpory grantového projektu GA ČR 101/05/2537.

Literatura:

- [1] Jílek, M., Ota, J. 2003. *Magnetokalorický jev a jeho aplikace*, Colloquium Fluid Dynamics 2003, Proceedings, Ústav termomechaniky AVČR, Praha 22.-24.10.2003, p. 43-46, ISBN 80-85918-83-8
- [2] Hlavačka, V., Valchář, J., Viktorin, Z. 1980. *Tepelně technické pochody v systémech plyn-tuhé částice*. Praha : SNTL, 1980. 256 s.
- [3] Viktorin, Z. 1978. *Výpočetní podklady hydrodynamických a termodynamických vlastností nehybné profukované vrstvy*. Praha : ČVTS, 1978. 52 s.